

高)、また越波をほとんど許さない場合には $1.25H_{1/3}$ とされている。実験値の入射波高は不規則波の最大波高 H_{max} に相当し、便宜的に $H_{max}=1.8H_{1/3}$ の関係をを用いれば、 $0.33 < h_c/H < 0.69$ が通常の防波堤の天端高と考えられる。この範囲の実験値は合田式による計算値に比べて約10%~20%小さくなっている。高山ほか(1991)によると、水平波力の実験値は合田式のそれに比べて10%程度小さい事例が多いことが報告されており、この程度のばらつきは合田式の推定誤差によるものと考えられる。 $h_c/H < 0.3$ での実験値は、合田式による計算値に比べて約30~40%小さくしており、合田式の推定誤差を考慮しても天端が低くなるとケーソンに働く波力が小さくなることが明らかである。また、 $h_c/H < 1$ では F_s は F_c と比べて平均的に約15%小さくしており、天端面および後壁に作用する波力が滑動に対して抵抗力となる可能性を示している。

(2)波圧分布

天端が低い場合($h_c/H=0.16$)と通常の場合($h_c/H=0.63$)について、各壁面での波圧分布を示した例を図-3に示す。図中には、合田式による水平波圧および揚圧力の算定値と高橋ほか(1991)による打ち込み圧を併せて示した。また、波圧としては、滑動合成波力が最大時になる場合と各壁面で最大となる場合の2ケースを選んだ。天端が低い場合、前壁に作用する水平波力は合田式に比べて全体的に小さく、静水面付近で低減率が大きくなっているが、揚圧力は合田式とほぼ同じである。天端の高さにかかわらず、前壁に作用する水平波力および揚圧力が最大となるときの滑動合成波力もほぼ最大となっている。天端面および後壁に作用する波力が最大となるのは、前壁に作用する水平波力が最大となる時刻から、それぞれ0.1T~0.2Tおよび0.2T~0.5T(T:波の周期)程度であって、滑動合成波力が最大となるときのにはそれほど大きくはない。しかし、これらの力を考慮することで滑動合成波力が15%程度低減できることは前述したとおりである。なお、天端に作用する波力の最大値は高橋ほかの打ち込み圧よりも、今回の実験値に関しては大きかった。

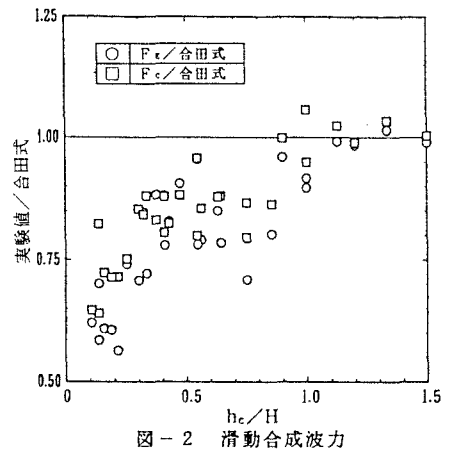


図-2 滑動合成波力

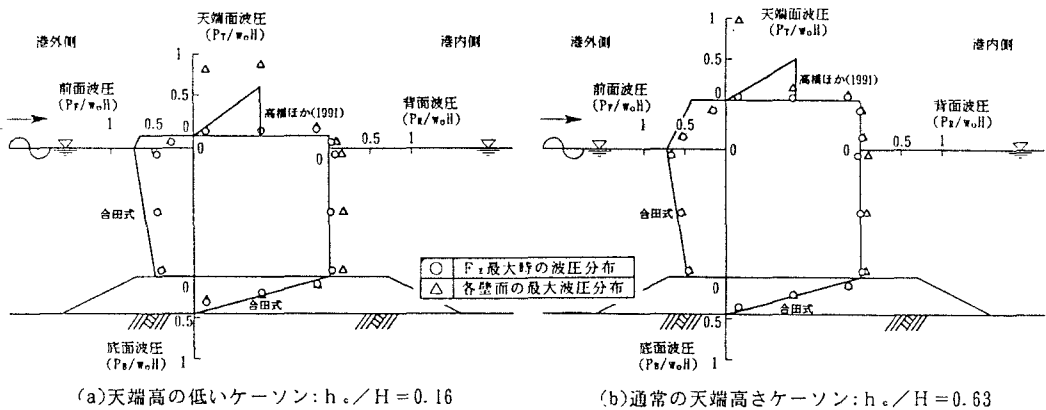


図-3 波圧分布

参考文献

宮原ら(1994a):天端高の低いケーソンの波浪に対する安定性に関する研究-その1 波圧の位相差-,平成6年度関西支部年講演概要
 宮原ら(1994b):天端高の低いケーソンの波浪に対する安定性に関する研究-波圧分布-,土木学会第49回年講演概要
 谷本ら(1988):大水深混成堤の耐波安定性に関する研究(第1報)、港研報告、第1号 PP.3-29
 高山ら(1991):現行設計法における防波堤の滑動安定性、第38回海講演文集 PP.641-645
 高橋ら(1991):親水性防波堤の越波水の運動に関する研究、第38回海講演文集 PP.536-540